# Formel sammlung - Physik



# Konstanten und Einheiten

#### Konstanten

Avogadro-Konstante	$N_A$	=	$6.02 \cdot 10^{23}  \mathrm{mol}^{-1}$
Bohr'scher Radius	$a_{\mathrm{Bohr}}$	=	$5.3 \cdot 10^{-11} \mathrm{m}$
Boltzmann-Konstante	$k_{\mathrm{B}}$	=	$1{,}38\cdot 10^{-23}\mathrm{J/K}$
Elektrische Feldkonstante	$arepsilon_0$	=	$8,85 \cdot 10^{-12}  \mathrm{As/(Vm)}$
Elementarladung	e	=	$1,60 \cdot 10^{-19}  \mathrm{As}$
Erdbeschleunigung	$g_{\rm E}$	=	$9.81\mathrm{m/s^2}$
Gravitationskonstante	$\gamma$	=	$6.67 \cdot 10^{-11} \mathrm{N} \cdot \mathrm{m}^2/\mathrm{kg}^2$
Magnetische Feldkonstante	$\mu_0$	=	$4\pi \cdot 10^{-7}  \mathrm{Vs/(Am)}$
Plank'sches Wirkungsquantum	h	=	$6,63 \cdot 10^{-34}  \mathrm{Js}$
	$\hbar = \frac{\mathrm{h}}{2\pi}$	=	$1,0546 \cdot 10^{-34}  \mathrm{Js}$
Ruhemasse des Elektrons	$m_{\rm e}$	=	$9{,}11\cdot10^{-31}\mathrm{kg}$
Ruhemasse des Protons	$m_{\rm p}$	=	$1,6726 \cdot 10^{-27} \mathrm{kg}$
Ruhemasse des Neutrons	$m_n$	=	$1{,}6749\cdot 10^{-27}\mathrm{kg}$
Universelle Gaskonstante	R	=	$8{,}315\mathrm{J/(mol\cdot K)}$
Vakuumlichtgeschwindigkeit	$c_0$	=	$3{,}00\cdot10^8\mathrm{m/s}$
Schallgeschwindigkeit (Luft)	$c_{\mathrm{S}}$	=	$343.2\mathrm{m/s}$
Dichte Wasser	$\varrho$	=	$1000\mathrm{kg/m^3}$

### Einheiten

### SI-Einheiten:

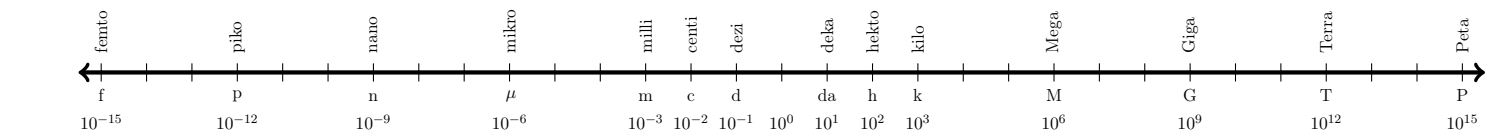
Zeit(t)	[t]	=	$1 \cdot s$	Sekunde
Länge, Strecke $(l, s)$	[s]	=	$1 \cdot m$	Meter
Masse $(m)$	[m]	=	$1 \cdot kg$	Kilogramm
Temperatur $(T, \vartheta)$	[T]	=	$1 \cdot K$	Kelvin
Stoffmenge $(n)$	[n]	=	$1 \cdot \text{mol}$	Mol
Stromstärke $(I)$	[I]	=	$1 \cdot A$	Ampère
Lichstärke $(I_v)$	$[I_v]$	=	$1 \cdot \mathrm{cd}$	Candela (lat.: Kerze)

Einige abgeleitete Einheiten:

Kraft 
$$(F)$$
  $[F] = 1 \cdot N = 1 \cdot \text{kg} \cdot \text{m/s}^2$ 

 $1 \cdot J \qquad = 1 \cdot N \cdot m = 1 \cdot W \cdot s = 1 \cdot kg \cdot m^2/s^2$ Joule Energie, Arbeit (E)[E] $=1\cdot\,J/s=\,V\cdot A=1\cdot\,kg\cdot m^2/s^3$  $1 \cdot W$ Leistung (P)[P]Watt =  $= 1 \cdot 1/s$ Frequenz  $(\nu, f)$ [f] $1 \cdot Hz$ Hertz $= 1 \cdot m^2 \cdot kg / \left(s^3 \cdot A\right)$  $1 \cdot V$ Spanning (V)[V]Volt  $= 1 \cdot A \cdot s$  $1 \cdot C$ el. Ladung (Q)[Q]Coulomb  $= 1 \cdot V/A = 1 \cdot m^2 \cdot kg/(s^3 \cdot A^2)$ el. Widerstand (R)[R]= $1 \cdot \Omega$  $\mathrm{Ohm}$  $= 1 \cdot C/V = 1 \cdot s^4 \cdot A^2 / (m^2 \cdot kg)$  $1 \cdot F$ el. Kapaziät (C)[C]Farad =  $1 \cdot \, Wb \quad = 1 \cdot \, V \cdot s = 1 \cdot \, m^2 \cdot kg / \left( s^2 \cdot A \right)$ mag. Fluss  $(\Phi)$  $[\Phi]$ Weber  $= 1 \cdot \text{Wb/m}^2 = 1 \cdot \text{kg/(s}^2 \cdot \text{A)}$  $1 \cdot T$ mag. Flussdichte (B)[B]Tesla

#### Größenordnungen



# Formel sammlung-Physik



# Mechanik I

# Gegenüberstellung: Translation $\leftrightarrow$ Rotation

	Translation	Rotation	
Bewegungsgleichung	gen (Konstante Beschleunigung):		
Weg	$\vec{s}(t) = \vec{s}_0 + \vec{v}_0 \cdot t + \frac{1}{2} \cdot \vec{a} \cdot t^2$	$\varphi(t) = \varphi_0 + \omega_0 \cdot t + \frac{1}{2} \cdot \alpha \cdot t^2$	überstrichener Winkel
Geschwindigkeit	$\vec{v}(t) = \frac{\mathrm{d}\vec{s}(t)}{\mathrm{d}t} = \dot{\vec{s}}(t) = \vec{v}_0 + \vec{a} \cdot t$	$\omega(t) = \frac{\mathrm{d}\alpha(t)}{\mathrm{d}t} = \dot{\alpha}(t) = \omega_0 + \alpha \cdot t$	Winkelgeschwindigkeit
Beschleunigung	$\vec{a} = \frac{\mathrm{d}\vec{v}(t)}{\mathrm{d}t} = \dot{\vec{v}}(t) = \ddot{\vec{s}}(t)$	$\alpha = \frac{\mathrm{d}\omega(t)}{\mathrm{d}t} = \dot{\omega}(t) = \ddot{\varphi}(t)$	Winkelbeschleunigung
Sonstiges:			
Kraft	$ec{F}$	$ec{M}=ec{r} imesec{F}$	Drehmoment
Masse	m	$J,\Theta = \sum m_i \cdot r_i = \int r^2 dm$	Trägheitsmoment
kinetische Energie	$E_{kin} = \frac{1}{2} \cdot m \cdot v^2$	$E_{rot} = \frac{1}{2} \cdot \Theta \cdot \omega^2$	
Leistung	$P = \frac{\mathrm{d}W}{\mathrm{d}t} = \vec{F_s} \cdot \vec{v_s}$	$P = \frac{\mathrm{d}W}{\mathrm{d}t} = M \cdot \omega$	
Impuls	$ec{p}=m\cdotec{v}$	$\vec{L} = \Theta \cdot \vec{\omega} = m \left( \vec{r} \times \vec{v} \right)$	Drehimpuls
Impulsänderung	$ec{F}=rac{\mathrm{d}ec{p}}{\mathrm{d}t}$	$ec{M}=rac{\mathrm{d}ec{L}}{\mathrm{d}t}$	Drehimpulsänderung
2. Newtonsches	$ec{F}=m\cdot ec{a}$	$ec{M} = \Theta \cdot ec{lpha}$	2. Newtonsche Gesetz
Gesetz			der Drehbewegung

## Kräfte

2. Newtonsches Axiom $\rightarrow$ Beschleunigung	$\vec{F} = m \cdot \vec{a}$
verallgemeinertes 2. Newtonsches Axiom	$\vec{F} = \dot{\vec{p}} = m \cdot \vec{a} + \dot{m} \cdot \vec{v}$
Normalkraft an schiefer Ebene	$F_{\rm N} = m \cdot g \cdot \cos(\alpha)$
Haftreibungskraft bei Normalkraft ${\cal F}_N$	$F_H = \mu_H \cdot F_N$
Gleitreibungskraft	$F_{\rm Gl} = \mu_{\rm Gl} \cdot F_N$
Hangabtriebskraft an schiefer Ebene	$F_{\rm HA} = m \cdot g \cdot \sin(\alpha)$
Gravitationskraft	$\vec{F_g} = -\gamma \frac{m_1 \cdot m_2}{r^2} \cdot \hat{e}_r$
Rückstellkraft einer Feder	$\vec{F} = -D \cdot \vec{s}$
Zentripedalkraft (d.h. Richtung Mittelpunkt)	$F_{\rm ZP} = m \frac{v^2}{r} = m \cdot \omega^2 \cdot r$

# Energie

Arbeit (Kraft mal Weg)	$W = \vec{F} \cdot \vec{s}$
Arbeit bei wegabhänigiger Kraft	$W = \int \vec{F}(s) \cdot d\vec{s}$
potentielle Energie (Hubarbeit)	$\Delta E_{\rm pot} = m \cdot g \cdot h$
Spannenergie (Feder aus Nulllage)	$E_{\rm Sp} = \frac{1}{2} \cdot D \cdot s^2$
kinetische Energie	$E_{\rm kin} = \frac{1}{2}m \cdot v^2$

gesamte kinetische Energie mit Rotation 
$$E = E_{\rm kin,Sp} + E_{\rm rot,~Sp}$$
 Reibungsarbeit 
$$W_{\rm R} = \vec{F}_{\rm Gl} \cdot \vec{s}$$
 Energieerhaltungssatz (abgeschlossenes System) 
$$\sum E = const.$$

## Leistung

Leistung ist Arbeit pro Zeit 
$$P = \frac{\Delta W}{\Delta t} = \frac{dW}{dt}$$

## Impuls und Stöße

Impuls und Kraftstoß	$\vec{p} = m \cdot \vec{v} = \overline{F} \cdot \Delta t$
Impulserhaltungssatz (abgeschlossenes System)	$\sum p = const.$
Geschwindigkeit nach zentralem unelastischem Stoß	$u = \frac{m_1 v_1 + m_2 v_2}{m_1 + m_2}$
Geschwindigkeit von $m_1$ nach zentralem elastischem Stoß	$u_1 = \frac{2m_2v_2 + (m_1 - m_2)v_1}{m_1 + m_2}$
Geschwindigkeit von $m_2$ nach zentralem elastischem Stoß	$u_2 = \frac{2m_1v_1 + (m_2 - m_1)v_2}{m_1 + m_2}$

## Kreisbewegung

Winkel im Bogenmaß, $(s \text{ Bogenlänge})$	$\varphi = \frac{s}{r}$
Radialbeschleunigung, d.h. Richtung Mittelpunkt	$ a_r  = \frac{v^2}{r} = \omega^2 \cdot r$
Winkel in Abhängigkeit von Zeit	$\varphi = \varphi_0 + \omega_0 \cdot t + \frac{1}{2}\alpha \cdot t^2$
Winkelgeschwindigkeit in $1/s$	$\omega = \frac{\mathrm{d}\Phi}{\mathrm{d}t} = \frac{v}{r}$
Winkelgeschwindigkeit, Umlaufzeit $(T)$ , Frequenz $(f)$	$\omega = \frac{2\pi}{T} = 2\pi \cdot f$
Winkelgeschwindigkeit pro Zeit bei Winkelbeschleunigung	$\omega = \omega_0 + \alpha \cdot t$
Winkelbeschleunigung	$\alpha = \frac{\mathrm{d}\omega}{\mathrm{d}t}$
Trägheitsmoment Punktmasse ( $\rm kg \cdot m^2)$	$\Theta = m \cdot r^2$
Trägheitsmoment ( $kg \cdot m^2$ )	$\Theta = \int r^2 dm$
Steinerscher Satz	$\Theta = \Theta_S + h^2 \cdot m$
Drehimpuls ( $kg \cdot m^2/s$ )	$L = \Theta \cdot \omega$
Drehimpulserhaltungssatz (abgeschlossenes System)	$\sum L = const.$
Drehmoment ist Kraft mal Hebelarm senkrecht aufeinander	$M = F \cdot r = \Theta \cdot \dot{\omega} = \dot{L}$
Rotationsenergie	$E_{rot} = \frac{1}{2}\Theta \cdot \omega^2 = \frac{L^2}{2 \cdot \Theta}$
Leistung bei Rotation	$P = \frac{\mathrm{d}E_{\mathrm{rot}}}{\mathrm{d}t} = M \cdot \omega$
Zentripedalkraft (d.h. Richtung Mittelpunkt)	$F_{\rm ZP} = m \frac{v^2}{r} = m \cdot \omega^2 \cdot r$

### einige Trägheitsmomente

Vollzylinder (Symmetrie Achse, Radius r)  $\Theta = \frac{1}{2}mr^2$ Vollzylinder (zweizählige Symmetrie Achse, Radius r, Länge l)  $\Theta = \frac{1}{4}mr^2 + \frac{1}{12}ml^2$ Hohlzylinder (Symmetrie Achse, Radius  $r_1, r_2$ )  $\Theta = \frac{1}{2}m\left(r_1^2 + r_2^2\right)$ Kugel (Radius r)  $\Theta = \frac{2}{5}mr^2$ Stab (zweizählige Symmetrie Achse, Länge l)  $\Theta = \frac{1}{12}ml^2$ Stab (Ende, Länge l)  $\Theta = \frac{1}{3}ml^2$ 

#### Kreisel

Nutation 
$$\vec{L} = const., \ \vec{M} = 0$$
  
Präzession  $\vec{M} \neq 0$ 

#### Gravitation

Gravitationsformel	$F_G = -\gamma \frac{m_1 m_2}{r^2} \text{ mit } \gamma = 6,673 \cdot 10^{-11} \frac{\text{Nm}^2}{\text{kg}^2}$
Arbeit im Gravitationsfeld	$\mathrm{d}E_{\mathrm{pot}} = F \cdot \mathrm{d}r = +\gamma \frac{m_1 m_2}{r^2} \mathrm{d}r$
potentielle Energie im Gravitationsfeld	$E_{\text{pot}} = \int_{r_1}^{r_2} F  dr = \gamma m_1 m_2 \int_{r_1}^{r_2} \frac{1}{r^2}  dr$
potentielle Energie $r_1 \rightarrow r_2$ im Gravitationsfeld	$E_{\text{pot}} = -\gamma m_1 m_2 \left(\frac{1}{r_2} - \frac{1}{r_1}\right)$
potentielle Energie für $r_1 \to \infty$	$E_{\rm pot} = -\gamma \frac{m_1 m_2}{r}$

#### Kepler Gesetze

- a) Planeten bewegen sich auf Ellipsen mit Sonne in einem Brennpunkt.
- b) Radiusvektor Sonne-Planet überstreicht in gleichen Zeiten gleiche Flächen.
- c) Quadrate der Umlaufzeiten verhalten sich wie Kuben der großen Bahnachsen:  $\frac{T_1^2}{r_1^3} = \frac{T_2^2}{r_2^3} = \frac{4\pi^2}{\gamma M_z} \text{ mit der Masse } M_z \text{ des Zentralkörpers, d.h. } M_z = m_S \text{ (Sonnenmasse) bei Planetenbahnen oder } M_z = m_P \text{ (Planetenmasse) bei den Umlaufbahnen von Monden.}$



# Formel sammlung - Physik



# Mechanik II

## ${\bf Zug-,\,Druckspannungen}$

Definition rel. Längenänderung	$\varepsilon = \frac{\Delta l}{l}$
Zugspannung = Kraft pro Querschnittsfläche	$\sigma = \frac{F}{A}$
Spannung prop. Dehnung $\rightarrow$ Hook, $E=$ Elastizitätsmodul	$\sigma = E \cdot \varepsilon$
Poissonzahl für Querkontraktion, $d = \text{Dicke}$	$\mu = -\frac{\frac{\Delta d}{d}}{\varepsilon} = \frac{E}{2G}$
Relative Volumenänderung	$\frac{\Delta V}{V} = \varepsilon + 2\frac{\Delta d}{d}$
eines quadratischen Stabs bei Zug	$=\varepsilon(1-2\mu)$
rel. Volumenänderung Medium unter Druck	$\frac{\Delta V}{V} = -\frac{\Delta p}{K} = -p \cdot \kappa$
$K$ : Kompressi onsmodul, $\kappa$ : Kompressibilität	$K = \frac{1}{\kappa} = -\frac{\Delta p}{\Delta V/V}$
	,

## Scherung, Torsion

Scherspannung tangential Fläche $A$	$ au = rac{F_t}{A}$
Torsions-/Schermodul mal Scherwinkel	$=G\cdot \alpha$
Verhältnis G zu E	$G \approx \frac{E}{23}$
Torsionskonstante dünnes Rohr	$D_{\varphi} = \frac{2\pi r^3 d}{l}G$
Torsionskonstante Stab	$D_{\varphi} = \frac{\pi r^4}{2 \cdot l} G$

## Elastizitätsmodule für einige Materialien

Material	$\mid$ Elastitzitätsmodul $E$	Schubmodul $G$	Kompressionsmodul $K$
	(Pa)	(Pa)	(Pa)
Aluminium	$70 \cdot 10^9$	$25 \cdot 10^9$	$70 \cdot 10^9$
Beton	$20 \cdot 10^9$		
Gusseisen	$200 \cdot 10^9$	$40 \cdot 10^9$	$90 \cdot 10^9$
Knochen	$15 \cdot 10^9$	$80 \cdot 10^9$	
Messing	$100 \cdot 10^9$	$35 \cdot 10^9$	$80 \cdot 10^9$
Stahl	$200 \cdot 10^9$	$80 \cdot 10^9$	$140 \cdot 10^9$
Quecksilber			$2.5 \cdot 10^9$
Wasser			$2.0\cdot 10^9$
Luft, $H_2$ , $He$ , $CO_2$			$1.0 \cdot 10^5 \text{ (isotherm)}$

#### Hydro-/Aerostatik

Auftriebskraft Körper in Flüssigkeit	$F_A = (\varrho_{\rm Fl} - \varrho_{\rm K}) \cdot V \cdot g$
--------------------------------------	--

Gasdichte prop. Druck 
$$\frac{\varrho}{\rho_0} = \frac{p}{p_0}$$

Kräfte auf Gasvolumen der Höhe d
$$h$$
  $0 = -(p + dp) A + p A - g \varrho A dh$ 

Differentialgl. f Druck 
$$\mathrm{d} p = -g\,\varrho\,\mathrm{d} h = -g\,p\,\tfrac{\varrho_0}{p_0}\,\mathrm{d} h$$

Barometrische Höhenformel 
$$p(h) = p_0 \cdot \exp\left[-\frac{g \varrho_0}{p_0} h\right]$$

Energ. z. Vergrößerung um Oberfläche d
$$A - \mathrm{d}E = \sigma \ \mathrm{d}A$$

Energ. Flüssigk.-Lamelle, 2 Oberfl. 
$$\mathrm{d}E = 2\sigma l \ \mathrm{d}x$$

Oberflächenenergie Flüssigkeitskugel 
$$W = A \cdot \sigma = 4\pi r^2 \sigma$$

Zunahme Oberflächenen. Kugel 
$$\mathrm{d}W_{\mathrm{Oberfl}} = \sigma \cdot \mathrm{d}A = \sigma(4\pi(r+\mathrm{d}r)^2 - 4\pi r^2)$$

$$\approx 8\pi\sigma r dr$$

Zunahme Energ. Flüssigkeitskugel d
$$r$$
 d $W_{\text{Auf}} = F dr = p \cdot A \cdot dr = 4\pi r^2 \cdot p \cdot dr$ 

Druck in Flüssigkeitskugel 
$$p_{\rm Fl} = \frac{2\sigma}{r}$$
 Druck in Seifenblase, 2 Oberfl. 
$$p_{\rm SB} = \frac{4\sigma}{r}$$

#### Strömungen

Kontinuitätsgleichung an Verengungen 
$$A_1 \cdot v_1 = A_2 \cdot v_2$$

Bernoulli-Gl.: Druck etc. in bew. Strömung 
$$p + \varrho \cdot g \cdot h + \frac{1}{2}\varrho \cdot v^2 = p_0 = const.$$

Newton-Reibungsgesetz: bewegte Platten, 
$$F = \eta \cdot A \frac{dv}{dx}$$

$$\eta = V$$
iskosität Flüssigkeit zw Platten

Strömungsgschw. in Rohr D=2R,abh. von r
$$v(r) = \tfrac{p_1 - p_2}{4\eta l} (R^2 - r^2)$$

Massenstrom durch Rohr D=R abh von delta p 
$$\dot{M} = \frac{\varrho \pi}{8nl} R^4$$

Druckabfall in Rohr, Hagen-Poiseuille 
$$\Delta p = \frac{8\eta l}{\pi \cdot R^4} A \cdot v$$

Stokesches Gesetz für Reibung v. Kugel 
$$F_R = 6\pi \cdot \eta \cdot r \cdot v$$

konst. Geschw. v Kugel in Flüssigkeit 
$$m\cdot g - |F_A| = 6\pi\cdot \eta \cdot r \cdot v$$

$$\rightarrow$$
 Viskosität eta bestimmen

Reynoldszahl, Umschlag ab v in turbulente 
$$Re = \tfrac{\varrho \cdot L \cdot v}{\eta}$$

Luftwiderstand geht mit v hoch 2 
$$F = c_w \frac{\varrho}{2} v^2 \cdot A$$

Leistung geht mit v hoch 3 
$$P = F \cdot v = c_w \frac{\varrho}{2} v^3 \cdot A$$



# Schwingungen und Wellen

#### Harmonische Schwingungen

Federkraft auf Masse  $F_F = -D \cdot x$ 

Trägheitskraft  $F_T = m \cdot a = m \cdot \ddot{x}$ 

Gleichsetzen der Kräfte  $m\ddot{x} = -Dx$ Bewegungsgleichung  $\rightarrow$  DGL 2.O.  $m\ddot{x} + Dx = 0$ 

Ansatz zur Lösung der DGL  $x(t) = c_1 \cos \omega_0 t + c_2 \sin \omega_0 t$ 

mit Kreisfrequenz der Schwingung  $\omega_0 = \sqrt{\frac{D}{m}}$ 

Lösung  $\to$  harm. Oszillator ohne Fg  $x(t)=x(0)\cos\omega_0 t+\frac{v(0)}{\omega_0}\sin\omega_0 t$ 

harm. Oszillator mit Fg  $y(t) = y_0 \cos \omega_0 t + \frac{v_0}{\omega_0} \sin \omega_0 t - \frac{mg}{D}$ 

#### Drehschwingungen

Hooksches G. der Torsion  $M_R = -D_{\Phi} \cdot \Phi$ 

Trägheitsmoment  $\rightarrow$  Beschl.  $M_T = \Theta \cdot \ddot{\Phi}(t)$ 

Gleichsetzen der Momente  $-D_{\Phi} \cdot \Phi(t) = \Theta \cdot \ddot{\Phi}(t)$ 

DGL  $\Theta \cdot \ddot{\Phi} + D_{\Phi} \cdot \Phi = 0$ 

Lösung der DGL  $\Phi(t) = \Phi(0) \cos \omega_0 t + \frac{\omega(0)}{\omega_0} \sin \omega_0 t$ 

mit Kreisfrequenz der Schwingung  $\omega_0 = \sqrt{\frac{D_{\Phi}}{\Theta}}$ 

math. Pendel  $ml\ddot{\varphi} + mg\varphi = 0 \Rightarrow \omega_0 = \sqrt{\frac{g}{l}}$  phys. Pendel,  $\Theta \ddot{\varphi} + mgS\varphi = 0 \Rightarrow \omega_0 = \sqrt{\frac{mgS}{\Box}}$ 

S =Abstand Schwer- Drehp.

#### Gedämpfte Schwingungen

DGL gedämpfte Schwingung  $m\ddot{y} + \beta\dot{y} + Dy = 0$ 

Eigenfreq. und Dämpfung  $\omega_0 = \sqrt{\frac{D}{m}}; \ \delta = \frac{\beta}{2m}$ 

DGL ged. Schwingung  $\ddot{y} + 2\delta \dot{y} + \omega_0^2 y = 0$ 

Lösung ged. DGL  $y(t) = y_0 \exp\left[-\delta t\right] \sin\left(\sqrt{\omega_0^2 - \delta^2} \cdot t + \varphi_0\right)$ 

 $\Rightarrow$  period./Kriechfall

Q-(Güte)faktor  $Q = \frac{2\pi \cdot E_{\text{ges}}}{\Delta E_{\text{pro Periode}}} = \frac{\omega}{2\delta}$ 

#### Erzwungene Schwingungen

Anregung 
$$L_0$$
 m.  $\omega$   $m\ddot{x} + \beta \dot{x} + Dx = D \cdot L_0 \sin(\omega t)$   
Eigenfreq. und Dämpfung  $\omega_0 = \sqrt{\frac{D}{m}}; \ \delta = \frac{\beta}{2m}$   
DGl  $\ddot{x} + 2\delta \dot{x} + \omega_0^2 (x - L_0 \sin(\omega t)) = 0$   
Erzw. Schwingung mit  $x_0$   $\frac{x_0}{L_0} = \frac{\omega_0^2}{\sqrt{(\omega_0^2 - \omega^2)^2 + (2\delta \omega)^2}}$   
Phase erzw. Schwingung  $\tan(\varphi) = 2\delta \frac{\omega}{\omega_0^2 - \omega^2}$ 

## Überlagerung von Schwingungen

Überlagerung zweier Schwingungen 
$$x(t) = A_1 \cos(\omega_1 t) + A_2 \cos(\omega_2 t - \varphi)$$
  
wenn:  $\omega_1 = \omega_2$   $x(t) = A \cos(\omega t - \varphi_{\rm ges})$   
Amplitude  $A = \sqrt{A_1^2 + A_2^2 + 2A_1A_2\cos\varphi}$   
Phase  $\varphi_{\rm ges} = \arctan(\frac{A_2\sin\varphi}{A_1 + A_2\cos\varphi})$   
 $A_1 = A_2; \ \omega_1 \approx \omega_2$   $A(\cos\omega_1 t + \cos\omega_2 t) = 2A\cos(\frac{\Delta\omega}{2}t)\cos(\omega t)$ 

#### Wellen

Wellengleichung in 
$$x$$
-Richtung 
$$y(x,t) = y_0 \sin(\omega t - kx)$$
 partielle DGL f. Welle 
$$\frac{\partial^2 y}{\partial x^2} - \frac{1}{c^2} \frac{\partial^2 y}{\partial t^2} = 0$$
 Wellengleichung allgemein,  $k$  in Ausbreitung 
$$u(\vec{r},t) = u_0 \sin(\omega t - \vec{k}\vec{r})$$

- Longitudinal Wellen (Schall)
- Transversale Wellen (Licht, Funk)
- Ebene Wellen, Kugelwellen (Hertzscher Dipol)
- Stehende Wellen (Schw.knoten oder Schw.bauch)
- Kohärenz: feste Phasenbeziehung zw. Wellen ->
- Interferenz: überlagerung additiv oder destruktiv.

Schallwelle in Stab 
$$\frac{\partial^2 u}{\partial x^2} - \frac{\varrho}{E} \frac{\partial^2 u}{\partial t^2} = 0$$
 Schallgeschwindigkeit im Stab 
$$c = \sqrt{\frac{E}{\varrho}}$$
 Lösung Wellengl. Stab 
$$u(x,t) = u_0 \sin(\omega t - kx)$$
 Geschw. Teilchen im Stab 
$$\dot{u}(x,t) = v = \omega u_0 \cos(\omega t - kx)$$
 kin. Energie Vol-element 
$$\mathrm{d}E_{\mathrm{kin}} = \frac{1}{2}\mathrm{d}m \cdot v^2 = \frac{1}{2}\mathrm{d}m \cdot \omega^2 u_0^2 \cos^2(\omega t - kx)$$
 mittl.kin. Energie Vol-element 
$$\overline{\mathrm{d}E_{\mathrm{kin}}} = \frac{1}{4}\mathrm{d}m\omega^2 u_0^2 = \frac{1}{4}\varrho\mathrm{d}V\omega^2 u_0^2$$
 Dopplereff.  $v_Q$ : Quelle;  $v_E$ : Empfänger 
$$f_E = \frac{c \pm v_E}{c \pm v_Q} \cdot f_Q$$



# Thermodynamik

#### Thermodynamik

- 0. Hauptsatz: Körper im thermische Gleichgewicht haben dieselbe Temperatur.
- absoluter Nullpunkt der Temperatur:  $-273,15^{\circ}$ C

 $\frac{\Delta l}{T} = \alpha \cdot \Delta T$ Längenausdehnung mit Temp.

 $\frac{\Delta V}{V} = \gamma \cdot \Delta T = 3\alpha \cdot \Delta T$ Volumenausdehnung Festkörper

 $\Delta Q = c \cdot m \cdot \Delta T$ Wärmemenge für Temp.erhöhung

molare Wärmekapazität von Feststoffen  $C_n = 3 R \approx 24.9 \frac{\text{J}}{\text{mol} \cdot \text{K}}$ 

Gesetz von Dulong-Petit

 $N_A = 6.022 \cdot 10^{23} \, \text{Teilchen/mol}$ Avogadrokonst.

Mol-Volumen ideale Gase bei 1 atm, 0°C  $V_{\text{mol}} = 22,414 \, \text{l}$ 

N = Teilchenzahl f.  $n \mod$  $N = n \cdot N_A$ 

 $R = 8.314 \frac{\text{J}}{\text{mol} \cdot \text{K}}$ univ. Gaskonstante f. ideale Gase

 $k = \frac{R}{N_A} = 1,3807 \cdot 10^{-23} \frac{J}{K}$ Boltzmannkonst.

 $p \cdot V = n \cdot R \cdot T = N \cdot k \cdot T$ ideale Gasgleichung f.  $n \mod$ 

#### Kinetische Gastheorie

Impuls eines Gasteilchens in x,  $p_x = m \cdot v_x$ 

d.h. auf eine Wand

m. 3 Freiheitsgr.

 $\Delta p_x = 2m \cdot v_x$ Impulsänderung bei Stoß mit Wand

 $\Delta t = \frac{2 \cdot l}{v_r}$ Zeit zwischen zwei Stößen

 $F_x = \frac{\Delta p_x}{\Delta t} = \frac{2mv_x}{2l/v_x} = \frac{m \cdot v_x^2}{l}$ Kraftstoß bei 1 Molekül

 $F_{\text{ges,x}} = \frac{m}{l} \cdot (v_{x1}^2 + v_{x2}^2 + v_{x1}^2 + \dots + v_{xN}^2)$  $\overline{v_x^2} = \frac{v_{x1}^2 + v_{x2}^2 + v_{x1}^2 + \dots + v_{xN}^2}{N}$ Kraft bei N Molekülen

quadratisch gemittelte Geschw.

 $F_{\rm ges,x} = \frac{m}{l} \cdot N \cdot \overline{v_x^2}$ ergo Kraft bei N Molekülen

 $v^2 = v_x^2 + v_y^2 + v_z^2$ mittlere Geschw. in 3D

 $\overline{v^2} = \overline{v_x^2} + \overline{v_y^2} + \overline{v_z^2}$ mittlere Geschw. in 3D

 $\overline{v_x^2} = \overline{v_y^2} = \overline{v_z^2}$ Mittelw. in allen Richtungen gleich

 $F_{\rm ges,x} = \frac{m}{l} \cdot N \cdot \frac{\overline{v^2}}{3}$ Kraft auf Gefäßwand

 $p = \frac{F_{\text{ges,x}}}{A} = \frac{1}{3} \frac{N \cdot m \cdot \overline{v^2}}{A \cdot l} = \frac{1}{3} \frac{N \cdot m \cdot \overline{v^2}}{V}$ Druck auf Gefäßwand

 $p \cdot V = \frac{1}{3} \cdot N \cdot m \cdot \overline{v^2} = \frac{2}{3} N \left( \frac{1}{2} m \cdot \overline{v^2} \right) = N \cdot k \cdot T$ vergl. Gasgesetz

 $\overline{E_{\rm kin}} = \frac{3}{2}k \cdot T = \frac{1}{2}m_M \cdot \overline{v^2}$ kin. Energie eines Gasmoleküls

 $v_{\rm rms} = \sqrt{\frac{3kT}{m_M}} = \sqrt{\frac{3RT}{M}}$ mittl. Geschwindigkeit

 $v_m$  oder  $v_{\rm rms}$  quadratisch gemittelte

Geschwindigkeit eines Gasmoleküls

kin. Energie eines Gasmoleküls m. f  
 Freiheitsgr. 
$$\overline{E_{\rm kin}} = \frac{f}{2} k \cdot T$$

z.B. für 
$$O_2$$
  $f=5$ 

## Maxwellsche Geschwindigkeitsverteilung

Verteilungsfunktion der Geschwindigkeiten 
$$f(v)dv = 4\pi v^2 \left(\frac{m_M}{2\pi kT}\right)^{3/2} \cdot \exp\left[-\frac{m_M v^2}{2kT}\right] dv$$
 wahrscheinlichste Geschw.  $v_w = \sqrt{2/3} \cdot v_m$  durchschn. Geschw., arithm. Mittel  $\overline{v} = \sqrt{\frac{8}{3\pi}} \cdot v_m$ 

#### Partial-, Dampfdruck

Molekülaustausch über Flüssigkeit im Gleichgewicht 
$$n_{\text{Molek.}} \sim \sqrt{v^2} \sim T$$
 rel. Luftfeuchtigkeit  $F_{\text{rel}} = \frac{\text{Partialdruck } H_2O}{\text{Dampfdruck } H_2O} \cdot 100\%$ 

#### Reale Gase, van der Waalsche Zustandsgl.

ideales Gas 
$$p\cdot V=nRT$$
reales Gas: Waalsche Zustandsgl. 
$$(p+\frac{a\cdot n^2}{V^2})\cdot (V-b\cdot n)=nRT$$
Binnendruck (a=gasspez. Materialkonst.) 
$$\frac{a\cdot n^2}{V^2}$$
Kovolumen (b=gasspez. Materialkonst.) 
$$b\cdot n$$

Der Binnendruck resultiert aus den Anziehungskräften zwischen den Molekülen (van der Waalskräfte) und erhöht den Druck.

Das Kovolumen berücksichtigt das Wechselwirkungsvolumen der Molekülkräfte und ist  $\tilde{4}x$  das Eigenvolumen des Moleküls, es reduziert das verfügbare Gesamtvolumen.

Oberhalb der kritischen Temperatur  $T_k$  kann ein Gas durch Druckerhöhung und/oder Volumenverkleinerung nicht mehr verflüssigt werden.

Kritischer Punkt im p-V-Diagramm mit  $p_k$  und  $V_k$ :

Bestimmung gasspez. Konstante b
$$b = \frac{R \cdot T_k}{8 \cdot p_k}$$
Bestimmung gasspez. Konstante a
$$a = 27 \cdot b^2 \cdot p_k$$
Inversionstemperatur f. Joule-Thomson-Effekt
$$T_i \approx 6,75T_k$$

Ein ideales Gas ändert bei adiabatischer Druck-/Volumenänderung nicht seine Temperatur ( $p \cdot V = const.$ ). Ein reales Gas kühlt sich unterhalb seiner Inversionstemperatur ab (Arbeit gegen zwischenmolekulare Anziehung), drüber erwärmt es sich.

Daher kann man unterhalb der Inversionstemp. durch Druckerniedrigung (Entspannung) ein reales Gas abkühlen bis zur Verflüssigung  $\rightarrow$  Joule-Thomson-Effekt.

#### Hauptsätze

Innere Energie: die in einem System gespeicherte Energie (v.a. thermische Energie) Die Summe der einem System von außen zugeführten Wärmeenergie  $\Delta Q$  und der zugeführten (z.B. mechanischen Arbeit  $\Delta W$  ist gleich der Zunahme  $\Delta U = n \cdot f/2 \cdot R \cdot \Delta T$  seiner inneren Energie:

$$\Delta U = \Delta Q + \Delta W \qquad \text{(innere Energie dU)}$$

Erster Hauptsatz der Thermodynamik (entsprechend dem Energieerhaltungssatz):

"Es ist unmöglich, Energie aus dem nichts zu gewinnen!" andere Formulierung:

"Ein perpetuum mobile erster Art ist unmöglich!"

Zweiter Hauptsatz der Thermodynamik:

"Wärme fließt immer nur vom wärmeren zum kälteren Körper!" andere Formulierung:

"Ein perpetuum mobile zweiter Art ist unmöglich!"

Dritter Hauptsatz der Thermodynamik:

"Am absoluten Nullpunkt ist die Entropie = 0!"

$$T = 0 \Leftrightarrow S = 0$$

$$S(t) = \int_{0}^{T} \frac{dQ_{\text{max}}}{T} = \int_{0}^{T} \frac{C_{V}}{T} dT$$

$$C_{V} \to 0 \text{ für } T \to 0$$
(Forderung unmöglich)

"Es ist prinzipiell unmöglich, den absoluten Nullpunkt zu erreichen!" Entropie:

$$dS = \frac{dQ}{T}$$
 (Entropieänderung aus Wärmeänderung)

Keine Entropie<br/>änderung bei adiabatische Prozessen, Adiabaten sind Linien konstanter Entropie, "Isentropen". Entropie ist eine Zustandsgröße,  $\Delta S=0$  für reversible Prozesse, sons<br/>t>0.

Enthalpie	$H = U + p \cdot V$
Enthalpiezunahme	dH = dU + pdV + Vdp
${\rm Kompression} \to {\rm Energiezufuhr}$	$dW = F dx = p \cdot A \cdot dx = -p \cdot dV$
Zufuhr d $Q>0$ v. Wärme energie	$dU = dQ + dW = dQ - p \cdot dV$
1. Hauptsatz f. ideales Gas	
Cv ist spezifische Molwärme	$\Delta U = n \cdot C_v \cdot \Delta T$
innere Energie von n Mol Teilchen	$\Delta U = n \cdot \frac{f}{2} R \cdot \Delta T$
mit $f$ Freiheitsgraden	z.B.: 1-atomig: $f=3;$ 2-atomig: $f=5$
Molwärme f. konst. Volumen	$C_V = \frac{f}{2}R$
Molwärme f. konst. Druck	$C_p = C_V + R$
innere Energie von N einatomigen Teilchen	$U = N \cdot \overline{E_{ ext{kin}}} = N \cdot \frac{3}{2}kT$
Adiabatenkoeff.	$\kappa = \frac{C_p}{C_V} = \frac{f+2}{f}$
isochor: $V = const.$	$\Delta Q = \Delta U = C_V \cdot \Delta T = \frac{f}{2} R \Delta T$
isobar: $p = const.$	$\Delta Q = \Delta U + p\Delta V = \frac{f}{2}R \cdot \Delta T + R\Delta T$
isotherm: $T = const.$	$\Delta Q = -\Delta W = -RT \cdot \ln \frac{V_1}{V_2}; \ \Delta U = 0$
adiabatisch: $Q = const.$	$\Delta Q = 0; \ \Delta W = \Delta U; \ T^{C_V} \cdot V^R = const.$

#### Kreisprozessse

Carnot'scher Kreisprozess

a) isotherme Kompression bei  $T_1$ 

$$\Delta U = 0, T = const. = T_1, V_1 \rightarrow V_2$$

**b)** adiabatische Kompression  $T_1 \to T_2$ 

$$\Delta Q = 0, \ n \cdot C_v dT = -P dV = -nRT \frac{dV}{V} \to \frac{dT}{T} + \frac{R}{C_v} \frac{dV}{V} = 0$$
$$\to \frac{C_p}{C_v} \ln \frac{V_2}{V_1} = \ln \frac{p_1}{p_2} \to p \cdot V^{\kappa} = const., \ V_2 \to V_3$$

c) isotherme Expansion bei  $T_2$ 

$$\Delta U = 0, T = const. = T_2, V_3 \rightarrow V_4$$

d) adiabatische Expansion  $T_2 \to T_1$ 

$$\Delta Q = 0, \ \frac{C_p}{C_v} \ln \frac{V_1}{V_4} = \ln \frac{p_4}{p_1} \to p \cdot V^{\kappa} = const., \ V_4 \to V_1$$

Mechanische Arbeit  $W=-nR\left(T_2\ln\frac{V_4}{V_3}-T_1\ln\frac{V_1}{V_2}\right)=-nR\ln\frac{V_4}{V_3}(T_2-T_1)$ 

Die abgegebene Nutzarbeit W pro Umlauf entspricht der Fläche im p-V-Diagramm.

Wirkungsgrad 
$$\eta_{\text{Carnot}} = \frac{|W|}{Q_{\text{zu}}} = \frac{T_2 - T_1}{T_2}$$

Sterling-Kreisprozess

- a) isotherme Expansion
- b) isochore Abkühlung
- c) isotherme Kompression
- d) isochore Erwärmung



# Formelsammlung - Physik



# Elektrostatik

## elektrostatische Kraft und Energie

Strom ist fließende Ladung	$I = \frac{Q}{t}$
Coulomb'sches Gesetz	$\vec{F_C} = +\frac{1}{4\pi\varepsilon_0} \frac{Q_1 Q_2}{r^2} \hat{r}$
vergl. Gravitationsgesetz	$\vec{F_G} = -\gamma \frac{m_1 m_2}{r^2} \hat{r}$
el. Feldstärke	$ec{E}(ec{r})=rac{ec{F_C}}{Q_2}=rac{1}{4\piarepsilon_0}rac{Q_1}{r^2}\hat{r}$
Kraft im E-Feld	$\vec{F_C} = q \cdot \vec{E}$
Arbeit im E-Feld (gegen Fc)	$W = \int \vec{F} d\vec{s} = -q \int \vec{E} d\vec{s}$
pot Energie f. Punktladung	$E_{\rm pot}(r) = -\frac{q \cdot Q}{4\pi\varepsilon_0} \int_{-\infty}^{r} \frac{1}{r^2} dr$
elektrisches Potential	$= \frac{q \cdot Q}{4\pi\varepsilon_0} \frac{1}{r} (\text{da E} \  \text{s, geht mit } 1/r)$
	$\phi(r) = \frac{E_{\text{pot}}(r)}{q} = \frac{Q}{4\pi\varepsilon_0} \cdot \frac{1}{r}$
Arbeit im el. Potential	$\Delta W = q \cdot \Delta \phi$
Äquipotentialflächen	$\Delta \phi = \int \vec{E} d\vec{s} = 0$
Überlagerungssatz	$\vec{E}_{\rm ges} = \sum \vec{E}_i$ , da $\vec{F}_{\rm ges} = \sum \vec{F}_i$
Potentielle Gesamtenergie von n Ladungen	
erste Ladung aus unendlichen geholt	$Q_1:W_1=0$
zweite Ladung aus unend.	$Q_2: W_2 = \frac{1}{4\pi\varepsilon_0} \frac{Q_1 Q_2}{r_{21}}$
dritte Ladung aus unend.	$Q_3: W_3 = \frac{1}{4\pi\varepsilon_0} \left( \frac{Q_1 Q_3}{r_{31}} + \frac{Q_2 Q_3}{r_{32}} \right)$
gesamte pot Energie f. n Ladungen	$E_{\text{pot,ges}} = \sum_{i=1}^{n} W_i$

## Bewegung im E-Feld

Beschleunigung im E-Feld 
$$m \cdot \vec{a} = q \cdot \vec{E}$$
  
Arbeit im E-Feld  $W = \int \vec{F} d\vec{s} = -q \int \vec{E} d\vec{s} = q \cdot \Delta \phi = q \cdot U$   
pot. Energie prop.  $U$  mit  $E_{\rm pot} = -q \cdot U$   
Energieerhaltung  $\Delta E_{\rm kin} = -\Delta E_{\rm pot}$   
für  $v_0 = 0, \ v \ll c$   $\frac{1}{2}m \cdot v^2 = |q \cdot U|$ 

### Ladungsverteilungen, Satz von Gauß

Ladungsdichte	$\varrho(r) = rac{\Delta Q}{\Delta V}$
Feldstärke am Ort e. Punktl.	$\vec{E}(\vec{r}) = \frac{1}{4\pi\varepsilon_0} \int \frac{\mathrm{d}q_i}{(\vec{r} - \vec{r_i})^2} \cdot \hat{r}_i$
$mit \ \rho = dq/dV$	$= \frac{1}{4\pi\varepsilon_0} \int \frac{\varrho(\vec{r})}{(\vec{r} - \vec{r_i})^2} \cdot \hat{r_i} dV$
Fluß durch geschlossene Fläche $A$	$\Phi_E = \oint \vec{E}   \mathrm{d}\vec{A}$

$$\oint \varepsilon_0 \cdot \vec{E} \, d\vec{A} = \int \varrho(r) \, dV = Q$$

Satz von Gauß in diffentieller Form  $~div~\vec{D}=\varrho$ 

Feldstärke von homogen geladener Fläche mit Flächenladungsdichte  $\varrho = Q/A = const.$ 

Feldstärke senkrecht auf Fläche

$$E_{\perp} = \frac{\varrho}{\varepsilon_0}$$

Feldstärke von homogen geladenem Draht mit Linienladungsdichte  $\lambda = Q/l = const.$ 

Feldstärke senkrecht zu Draht

$$E_{\perp} = \frac{\lambda}{2\pi\varepsilon_0} \cdot \frac{1}{r}$$

#### Leiter im elektrischen Feld

- Inneres ist feldfrei
- $E_{\perp}$  an der Oberfläche  $\rightarrow$  Oberfl. ist Potentialfläche
- Ladungen nur an der Oberfl. so, dass inneres feldfrei bleibt (Influenz)

$$\Phi_E = \frac{Q}{\varepsilon_0} = \frac{\sigma \cdot A}{\varepsilon_0} = E_{\perp} \cdot A$$

Flächenladungsdichte an Leiteroberfl.

$$\sigma = \varepsilon_0 \cdot E_\perp$$

elektr. Flußdichte

$$\vec{D} = \varepsilon_0 \varepsilon_r \cdot E$$

#### Kondensatoren

Plattenkondensator

 $C = \frac{Q}{U} = \varepsilon_0 \varepsilon_r \cdot \frac{A}{d}$ Kapazität

 $E = \frac{U}{I}$ Feldstärkte

Kugelkondensator

 $Q = \varepsilon_0 \varepsilon_r \cdot E(r) \cdot A(r)$ , mit  $A(r) = 4\pi r^2$ eingeschl. Ladung

Feldstärke

 $E(r) = \frac{Q}{4\pi\varepsilon_0\varepsilon_r} \cdot \frac{1}{r^2}$   $U = \int_{r_i}^{r_a} E(r) dr = \frac{Q}{4\pi\varepsilon_0\varepsilon_r} \left(\frac{1}{r_i} - \frac{1}{r_a}\right)$ 

 $C = \frac{Q}{U} = \frac{4\pi\varepsilon_0\varepsilon_r}{\frac{1}{r_i} - \frac{1}{r_a}} = 4\pi\varepsilon_0\varepsilon_r \frac{r_a r_i}{r_a - r_i}$ Kapazität Kugelkondensator

Zylinderkondensator

 $E \cdot A = E(r) \cdot 2\pi \cdot r \cdot l = \frac{Q}{\varepsilon_0 \varepsilon_r}$ Satz v. Gauß f. Zylinderfläche

$$\begin{split} E(r) &= \frac{1}{2\pi\varepsilon_0\varepsilon_r} \frac{Q}{l} \frac{1}{r} \\ U &= \int\limits_{r_i}^{r_a} E(r) \mathrm{d}r = \frac{1}{2\pi\varepsilon_0\varepsilon_r} \frac{Q}{l} \int\limits_{r_i}^{r_a} \frac{1}{r} \mathrm{d}r = \frac{Q}{2\pi\varepsilon_0\varepsilon_r l} \ln \frac{r_a}{r_i} \end{split}$$

 $C = \frac{Q}{U} = \frac{2\pi\varepsilon_0\varepsilon_r \cdot l}{\ln\frac{r_a}{r}}$ Kapazität Zyl.kondensator

Serien- und Parallelschaltung von Kondensatoren

 $C_n = \sum_i C_i$ Parallelschaltung

 $\frac{1}{C_{-}} = \sum_{i} \frac{1}{C_{i}}$ Serienschaltung Energie, Energiedichte, Kraft auf Kondensatorplatte

 $W = \frac{1}{2}C \cdot U^2$ gespeicherte el. Energie im Kond.

Energie im Volumen V bei Plattenk.  $W = \frac{1}{2}\varepsilon_0 \frac{A}{d}(E \cdot d)^2 = \frac{\varepsilon_0}{2}A \cdot d \cdot E^2 = \frac{\varepsilon_0}{2} \cdot E^2 \cdot V$  Energiedichte allgemein  $w = \frac{W}{V} = \frac{\varepsilon_0}{2}E^2$  Kraft auf eine Kondensatorplatte  $F = \frac{1}{2}E \cdot q$ 

Polarisation im Dielektrikum

Verschiebungspolarisation, erst d. äußeres Feld polarisiert (z.B. Kunststoff)

Orientierungspolarisation bei Dipolen (z.B. Wasser)

#### Stationäre Ströme

geflossene Ladung  $\begin{aligned} &\mathrm{d}Q = I \cdot \mathrm{d}t \\ &\mathrm{Knotenregel:~1.~Kirchhofsches~G.} &\sum_{k} I_{k} = 0 \\ &\mathrm{Maschenregel:~2.~Kirchhofsches~G.} &\sum_{k} U_{k} = 0 \\ &\mathrm{Ohmsches~Gesetz} &U = R \cdot I \\ &\mathrm{Leistung~bei~Gleichstrom} &P = U \cdot I = R \cdot I^{2} = \frac{U^{2}}{R} \end{aligned}$ 

#### Widerstände

Leitwert in Siemens  $G = \frac{1}{R}$  $R = \rho \cdot \frac{l}{A}$ Widerstand Draht mit  $\rho$ , A, l $\rho_{\text{Kupfer}} = 0.0175 \,\Omega \cdot \text{mm}^2/\text{m}$ spezifischer Widerstand von Kupfer  $R_{\vartheta} = R_0 \cdot (1 + \alpha \cdot (\vartheta - \vartheta_0))$ Widerstandsänderung mit Temperatur Serienschaltung von Widerständen  $R_{\text{Gesamt}} = R_1 + R_2 + \ldots = \sum_i R_i$  $G_{\parallel} = \frac{1}{R_{\parallel}} = G_1 + G_2 + \ldots = \sum_i G_i$ Parallelschaltung  $R_{\parallel} = \frac{R_1 \cdot R_2}{R_1 + R_2}$ Parallelschaltung von 2 Widerständen  $U_2 = U_1 \cdot \frac{R_2}{R_1 + R_2}$ Spannungsteilung an  $R_2$ Stromteilung eines Stroms in  $R_1 \parallel R_2$  durch  $R_2 = I \cdot \frac{R_1}{R_1 + R_2}$ 



# Formelsammlung - Physik



## Magnetostatik & Dynamik

#### Stationäre Magnetfelder

Ampèresches Durchflutungsgesetz  $\oint \vec{H} \, d\vec{s} = I = \int j \, d\vec{A}$ 

magn. Feldstärke Draht  $H = \frac{I}{2\pi \cdot r}$ 

magn. Feldstärke Zylinderspule N Wdg/Länge l  $H = I \cdot \frac{N}{l}$ 

Gesetz von Biot-Savart, phi=Winkel Tangente zu Pkt  $\mathrm{d}H = \tfrac{I}{4\pi r^2}\sin\phi\cdot\mathrm{d}s$ 

H im Mittelpunkt eines Kreisstroms I, z.B Elektron umkreist Atomkern  $H = \frac{I}{2r}$ 

#### Kräfte auf bewegte Ladungen

magn. Flußdichte  $\vec{B} = \mu_0 \mu_r \vec{H}$ 

Lorentzkraft auf bewegte Ladung  $\vec{F}_L = q \cdot \vec{v} \times \vec{B}$ 

wenn  $v \parallel B$   $F_L = 0$ 

Zentralkraft, wenn v senkr auf B  $m\frac{v^2}{r} = q \cdot v_{\perp} \cdot B$ 

Radius Kreisbahn  $r = \frac{mv}{qB}$ 

v zerlegen, wenn schräg zu B  $\vec{v} = \vec{v}_{||} + \vec{v}_{\perp} = v \cdot \cos \phi + v \cdot \sin \phi$ 

Kraft auf stromdurchflossenen Leiter  $\vec{F} = I \cdot \vec{l} \times \vec{B}$ 

Zwei parallele, stromdurchflossene Leiter im Abstand d $\vec{B}$  ist senkrecht auf  $\vec{l}$  (Leiter 2)

Feld von Leiter 1 an Stelle Leiter 2  $B_1 = \mu_0 H_1 = \mu_0 \frac{I_1}{2\pi d}$ 

Kraft auf Leiter 2  $F_2 = I_2 \cdot l \cdot B_1 = \mu_0 \cdot \frac{I_1 I_2 l}{2\pi d}$ 

#### Materie und Magnetfeld

magn. Suszeptibilität

Magnetisches Dipol<br/>moment pro Volumen  $\vec{M} = \kappa \cdot \vec{H}$ 

rel. Permeabilität  $\vec{B} = \mu_0 \mu_r H = \mu_0 (\vec{H} + \vec{M})$ 

Diamagnetische Stoffe (Cu, Au, Pb)  $\kappa < 0, \mu_r < 1$ 

Paramagnetische Stoffe (Al, Ca, Mg, Pt, W)  $\kappa > 0 \ (\approx 10^{-2}), \ \mu_r > 1$ 

Ferromagnetische Stoffe (Fe, Ni, Co, Gd)  $\kappa \gg 0 \ (\approx 10^4), \ \mu_r \gg 1$ 



# Formelsammlung - Physik



# Induktion und Maxwell-Gleichungen

#### Elektromagnetische Induktion

Lenzsche Regel Induzierte Spannung so gerichtet, dass

ein induzierter Strom der Ursache entgegenwirkt.

magnetischer Fluss  $\Phi = \int \vec{B} \, d\vec{A}$ 

Induzierte Spannung im M-Feld  $U_{\rm ind} = \oint \vec{E} \ \mathrm{d}\vec{s} = -\frac{\mathrm{d}\Phi}{\mathrm{d}t}$ 

Spule mit N Windungen  $U_{\rm ind} = -N \frac{\mathrm{d}\Phi}{\mathrm{d}t}$ 

Erzeugte Ind.-Spannung  $U_{\text{ind}} = -\frac{d}{dt} \int \vec{B} \ d\vec{A}$ 

Drei Möglichkeiten, Spannung zu induzieren

Änderung von B  $U_{\rm ind} = -N \cdot \vec{A} \frac{{
m d} \vec{B}}{{
m d} t}$ 

Änderung von A  $U_{\rm ind} = -N \cdot \vec{B} \frac{d\vec{A}}{dt} = -N B \cos \varphi \frac{dA}{dt}$ 

Änderung von  $\varphi$   $U_{\rm ind} = -\frac{\mathrm{d}\Phi}{\mathrm{d}t} = -\frac{\mathrm{d}}{\mathrm{d}t}(N\cdot A\cdot\cos(\omega t)) = N\cdot B\cdot A\cdot\omega\sin(\omega t)$ 

#### Selbstinduktion und Induktivität

Induktivität  $U_{\text{ind}} = -L \frac{dI}{dt}$ 

Induktivität lange Spule  $L = \mu_0 \mu_r A \frac{N^2}{I}$ 

Energie im Magnetfeld

Energie in Induktivität L  $W_m = \frac{1}{2}L I^2$ 

Energie pro Volumen  $w = \frac{W}{V} = \frac{1}{2}L \cdot I^2 \frac{1}{V} = \frac{1}{2}\mu_0 \mu_r H^2 = \frac{1}{2}H \cdot B$ 

#### Transformator

Spannungsübersetzungsverhältnis,  $N_i$  Windungszahlen  $\frac{U_1}{U_2} = \frac{N_1}{N_2}$  Stromübersetzungsverhältnis = 1/Spg-ÜV  $\frac{I_1}{I_2} = \frac{U_2}{U_1}$ 

#### Maxwell-Gleichungen

Integral Form

Durchflutungsgesetz (Ampere-Maxwell)  $\oint \vec{B} \ d\vec{s} = \mu_0 \mu_r \left( I + \frac{d}{dt} \int \varepsilon_0 \varepsilon_r \vec{E} \ d\vec{A} \right)$ 

Induktionsgesetz  $\oint \vec{E} \ \mathrm{d}\vec{s} = -\tfrac{\mathrm{d}}{\mathrm{d}t} \int \vec{B} \ \mathrm{d}\vec{A}$ 

Elektrischer Fluss  $\rightarrow$  Gaußscher Satz  $\oint \vec{E} d\vec{A} = \frac{Q}{\varepsilon_0 \varepsilon_r}$ 

Quellenfreiheit Magnetfeld  $\oint \vec{B} \ d\vec{A} = 0$ 

Differentielle Form

Durchflutungsgesetz (Ampere-Maxwell)  $\vec{\nabla} \times \vec{B} = \mu_0 \mu_r \left( \vec{j} + \varepsilon_0 \varepsilon_r \frac{\partial \vec{E}}{\partial t} \right)$ 

Induktionsgesetz	$\vec{\nabla} \times \vec{E} = -\frac{\partial \vec{B}}{\partial t}$
Elektrischer Fluss $\rightarrow$ Gaußscher Satz	$\nabla \cdot \vec{E} = \frac{ ho}{arepsilon_0 arepsilon_r}$
Quellenfreiheit Magnetfeld	$\nabla \cdot \vec{B} = 0$
Materialgleichungen	
elektrische Durchflutung	$\vec{D} = \varepsilon_0 \varepsilon_r \vec{E}$
magnetische Induktion	$\vec{B} = \mu_0 \mu_r \vec{H}$

#### Elektromagnetische Wellen

Wellengleichung, durch Maxwellgleichungen erfüllt	$\frac{\partial^2 y(x,t)}{\partial x^2} = \frac{1}{c^2} \frac{\partial^2 y(x,t)}{\partial t^2}$
Wellengleichung für $E$ -Feld	$\frac{\partial^2 \vec{E}(x,t)}{\partial x^2} = \frac{1}{c^2} \frac{\partial^2 \vec{E}(x,t)}{\partial t^2}$
Wellengleichung für $B$ -Feld	$\frac{\partial^2 \vec{B}(x,t)}{\partial x^2} = \frac{1}{c^2} \frac{\partial^2 \vec{B}(x,t)}{\partial t^2}$
Ausbreitungsgeschwindigkeit in Materie	$c = \frac{1}{\sqrt{\varepsilon_0 \varepsilon_r \mu_0 \mu_r}}$
Ausbreitungsgeschwindigkeit in Vakuum	$c_0 = \frac{1}{\sqrt{\varepsilon_0 \mu_0}} = 2,997 \cdot 10^8 \mathrm{m/s}$
Brechungsindex eines Mediums	$n = \frac{c_0}{c} = \sqrt{\varepsilon_r \mu_r}$
Energiedichte im E-Feld	$w_{\mathrm{el}} = \frac{1}{2}\varepsilon_0 E^2$
Energiedichte im B-Feld	$w_{\rm mag} = w_{\rm el} = \frac{1}{2} \frac{B^2}{\mu_0}$
Gesamtenergiedichte	$w = w_{\rm el} + w_{\rm mag} = \varepsilon_0 E^2$
	$= \varepsilon_0 c \ E \cdot B = \frac{E \cdot B}{\mu_0 c}$
momentane Intensität	$I_m = \frac{E \cdot B}{\mu_0} = w \cdot c$
Poynting-Vektor f. Energieausbreitung	$ec{S} = rac{1}{\mu_0} ec{E}  imes ec{B} = ec{E}  imes ec{H}$
mittlere Intensität, $E_0$ , $B_0$ =Amplituden	$I = \frac{E_0 \cdot B_0}{2\mu_0}$

#### Wechselströme

$$\begin{array}{ll} \text{Effektivspannung} & U_{\text{eff}} = \sqrt{\frac{1}{T} \int_{t_0}^{t_0 + T} u^2(t) \mathrm{d}t} = \sqrt{u^2(t)} \\ U_{\text{eff}} \text{ f\"ur } u(t) = U_{\text{max}} \sin{(\omega t)} & U_{\text{eff}} = \frac{U_{\text{max}}}{\sqrt{2}} \\ \text{Aufladen eines Kondensators} & u(t) = U_0 \cdot (1 - \exp{\left[-\frac{t}{RC}\right]}) \\ \text{Entladen eines Kondensators} & u(t) = U_0 \cdot \exp{\left[-\frac{t}{RC}\right]} \\ \text{Einschalten Induktivit\"at} & i(t) = \frac{U_0}{R} \cdot (1 - \exp{\left[-\frac{R}{L}t\right]}) \\ \text{komplexer Widerstand Induktivit\"at} & \underline{Z}_L = i\omega L \\ \text{komplexer Widerstand Kondensator} & \underline{Z}_C = \frac{1}{i\omega C} \\ \end{array}$$



# Formelsammlung - Physik



# Optik

## Geometrische Optik

Gegenstandweite	g
Bildweite	b
Gegenstandshöhe	G
Bildhöhe	B
$Einfalls-=Ausfalls winkel\ b.\ Reflektion$	$\alpha_1 = \alpha_2$
Brechungsindex	$n = \sqrt{\varepsilon_r \cdot \mu_r}$
Brechungsgesetz, auch Snellius'sches Brechungsgesetz	$n_1 \cdot \sin \vartheta_1 = n_2 \cdot \sin \vartheta_2$
Ablenkungswinkel Prisma b. Prismenwinkel $(\gamma)$	$\delta = (n-1) \cdot \gamma$
Grenzwinkel Totalreflektion	$\sin \vartheta_{1,\text{Grenz}} = \frac{n_2}{n_1}$
Brennweite Linse $r_1 + r_2$	$\frac{1}{f} = (n-1) \cdot \left(\frac{1}{r_1} - \frac{1}{r_2}\right)$
Brechkraft Linse	$D = \frac{1}{f}$
Brechkr. 2 Linsen i. Abstand $d$	$D = \frac{1}{f} = \frac{1}{f_1} + \frac{1}{f_2} - \frac{d}{f_1 f_2}$
Abbildungsgesetz	$\frac{1}{g} + \frac{1}{b} = \frac{1}{f}$
konkaver Spiegel	f > 0
konvexer Spiegel	f < 0
reelles Bild	b > 0
virtuelles Bild	b < 0
Vergrößerung V, V<0 für kopfstehend	$V = \frac{B}{G} = -\frac{b}{g}$
Auflösungsvermögen von Linsensystemen	

für ein Linsensystem mit einem Objektivdurchmesser D und einer Brennweite f gilt

Winkelauflösung

 $s = f \cdot \alpha = \frac{1,22 \cdot \lambda \cdot f}{D}$ Winkelauflösung bei Objektivdurchm. D

#### Interferometer

Interferenz: Überlagerung von 2 Wellen mit festen Phasenbeziehungen (kohärentes Licht).

Erzeugung kohärentes Licht d. Spalte od. halbdurchlässige Spiegel.

Michelson Interferometer (M.I.)

 $\Delta x = 2 \cdot (l_1 - l_2) = 2\Delta ln$ Gangunterscheid bei M.I.

Phasenunterschied M.I.

 $\begin{array}{l} \Delta\varphi = \frac{2\pi}{\lambda} \cdot \Delta c \\ \Delta\varphi = m \cdot 2\pi \to \Delta x = m \cdot \lambda \end{array}$ Maxima

 $\Delta \varphi = (2m-1)\pi \to \Delta x = (2m-1) \cdot \frac{\lambda}{2}$ Minima

Abstand Maxima bei M.I.

Perot-Fabry-Interferometer: Spiegel + halbdurchlässiger Spiegel ( $\approx 97\%)$ 

Abstand der Spiegel für LASER  $l=m\frac{\lambda_0}{2}$ 

Wellenlänge Atomstrahlung  $\lambda_0$ 

Stehende Welle möglich, angeregte Atome im Resonator, phasensynchrone (stimulierte) Emission der Atome.

 $\rightarrow$  Verstärkung der stehenden Welle.

## Einzel-, Doppelspalt und Gitter

Spaltbreite Abstand Spalte bzw. Abstand Gitterstriche Anzahl Gitterstriche Zunächst $b \ll \lambda$	$egin{array}{c} b \ d \ N \end{array}$	
Maxima b. Doppelspalt	$d \cdot \sin \alpha = m \cdot \lambda$	
Minima b. Doppelspalt	$d \cdot \sin \alpha = (m + \frac{1}{2}) \cdot \lambda$	
Hauptmaximum b. Gitter	$d \cdot \sin \alpha = m \cdot \lambda$	
Anzahl Nebenmaxima zw. Hauptmax. beim Gitter	N-2	
Beugung am Spalt		
Spaltbreite nun nicht mehr viel kleiner als Wellenlänge		
→ Huygenssche Elementarwellen	$h$ · $\lambda$	
Auslöschung Teilstrahlen	$\frac{b}{2}\sin\alpha = m \cdot \frac{\lambda}{2}$	
Intensität am Spalt	$I = I_0 \left( \frac{\sin \varphi / 2}{\varphi / 2} \right)^2$	
mit	$\varphi = \frac{2\pi}{\lambda} \cdot b \cdot \sin \alpha$	
Intensität am Doppelpalt	$I' = I_0 \left( \frac{\sin \varphi/2}{\varphi/2} \right)^2 \cdot \cos^2 \frac{\delta}{2}$	
mit	$\delta = \frac{2\pi}{\lambda} \cdot d \cdot \sin \alpha$	

### Polarisation

Brewster-Winkel  $\alpha_B$ 

Hier ist reflektierter Strahl senkrecht auf gebrochenem Strahl

Für diesen Winkel sind beide Strahlen senkrecht zueinander polarisiert.

Bedingung für Brewster'scher Winkel  $\frac{n_2}{n_1} = \tan \alpha_B$ 

Brewster'scher Winkel für  $n_1=1$  $n_2 = \tan \alpha_B$ 



# moderne Physik

## Spezielle Relativitätstheorie

- Versuch von Michelson und Morley: Messung Lichtgeschwindigkeit in und gegen Erdbewegung  $\rightarrow$  kein Unterschied für c
- Spezielle Relativitätstheorie von Einstein:
  - a) Absolute, gleichförmige Bewegungen kann man nicht messen
  - b) Die Lichtgeschwindigkeit ist unabhängig von der Bewegung der Lichtquelle oder dem Beobachter (oder: Jeder Beobachter misst für c im Vakuum denselben Wert).

#### Zeitdilatation

Zeitpunkt eines Ereignisses 1 im Bezugssystem B:  $t_1^{(B)}$ 

Zeitpunkt eines Ereignisses 2 im Bezugssystem B:  $t_2^{(B)}$ 

Zeitdifferenz im im Bezugssystem B:  $t_2^{(B)} - t_1^{(B)}$ 

Geschwindigkeit des Bezugssystems B relativ zu Bezugssystem A:  $v_{R}^{(A)}$ 

im Bezugssystem A beobachteter Zeitpunkt des Ereignisses 1:  $t_1^{(A)}$ 

im Bezugssystem A beobachteter Zeitpunkt des Ereignisses 2:  $t_2^{(A)}$ 

$$t_1^{(A)} = \frac{1}{\sqrt{1 - \left(\frac{v_B^{(A)}}{c}\right)^2}} \left(t_1^{(B)} + \frac{v_B^{(A)} x_0^{(B)}}{c^2}\right)$$

$$t_{1}^{(A)} = \frac{1}{\sqrt{1 - \left(\frac{v_{B}^{(A)}}{c}\right)^{2}}} \left(t_{1}^{(B)} + \frac{v_{B}^{(A)}x_{0}^{(B)}}{c^{2}}\right)$$
$$t_{2}^{(A)} = \frac{1}{\sqrt{1 - \left(\frac{v_{B}^{(A)}}{c}\right)^{2}}} \left(t_{2}^{(B)} + \frac{v_{B}^{(A)}x_{0}^{(B)}}{c^{2}}\right)$$

Zeitdifferenz in B

$$\Delta t^{(B)} = t_2^{(B)} - t_1^{(B)}$$

Zeitdehnung (-dilatation) in A

$$\Delta t^{(A)} = \frac{v_2}{\sqrt{1 - \left(\frac{v_B^{(A)}}{c}\right)^2}} \cdot \Delta t^{(B)}$$

Längenkontraktion

Längenkontraktion parallel zu v

$$l = \sqrt{1 - \left(\frac{v_B^{(A)}}{c}\right)^2} \cdot l_{\rm Eigen}$$

relative Geschwindigkeiten

$$v_x^{(A)} = \frac{v_x^{(B)} + v_B^{(A)}}{1 + v_B^{(A)} v_x^{(B)}/c^2}$$

$$v_y^{(A)} = \frac{v_y^{(B)}}{1 + v_B^{(A)} v_x^{(B)}/c^2}$$

$$v_z^{(A)} = \frac{v_z^{(B)}}{1 + v_B^{(A)} v_x^{(B)}/c^2}$$

y-Richtung

$$v_y^{(A)} = \frac{v_y^{(A)}}{1 + v_B^{(A)} v_x^{(B)}/c^2}$$
(A)  $v_z^{(B)}$ 

z-Richtung

$$v_z^{(A)} = \frac{v_z^{(B)}}{1 + v_B^{(A)} v_x^{(B)}/c^2}$$

relativistischer Impuls und relativistische Energie relativistische Masse

$$m_{\mathrm{rel}} = \frac{m_0}{\sqrt{1 - \left(\frac{v}{c}\right)^2}} = \gamma \cdot m_0$$

Ruheenergie

$$E_0 = m_0 c^2$$

Elektron

$$E_0 = 0.511 \cdot 10^6 \,\text{eV} = 0.511 \,\text{MeV}$$

Proton

$$E_0 = 938,272 \,\mathrm{MeV}$$

Neutron  $E_0 = 939,565\,\text{MeV}$  relativistische kinetische Energie  $E_{\text{kin}} = \frac{m_0 \cdot c^2}{\sqrt{1 - (\frac{v}{c})^2}} - m_0 c^2 = m_0 c^2 (\gamma - 1)$  Relativistische (Gesamt-)Energie  $E = E_0 + E_{\text{kin}} = \gamma m_0 c^2$  relativistischer Impuls  $p = \frac{m_0 \cdot v}{\sqrt{1 - (\frac{v}{c})^2}} = \frac{m_0 \cdot v}{\sqrt{1 - \beta^2}} = \gamma m_0 v$  Impuls, Ruhe- und Gesamtenergie  $E^2 = p^2 c^2 + (m_0 c^2)^2$ 

#### Welle-Teichen Dualismus

- a) Elektronen durch Doppelspalt: Interferenzmuster  $\rightarrow$  Wellennatur des Lichts.
- b) Photoeffekt: Elektronen werden durch Photonen aus Metalloberfläche herausgeschlagen:
  - (i) Minimale Frequenz  $\nu$  notwendig um Austrittsenergie W zu überwinden
  - (ii)  $E_{\rm kin}$  ist abhängig von Frequenz  $\nu$  des Photons und steigt linear mit  $\nu$
  - (iii) Anzahl Elektronen ist proportional zur Intensität des Lichts
- c) Compton-Effekt: elastischer Stoß zwischen Elektronen und Photonen, Photon gibt Energie ab (Frequenz nach Stoß kleiner)  $\rightarrow$  Photonen haben Impuls.
- d) Paarbildung: aus einem energiereichen Photon mit  $E_{\text{Photon}} = h \cdot \nu$  bildet sich ein Teilchen-Antiteilchen-Paar (z.B. Elektron-Positron-Paar bei  $E_{\text{Photon}} \geq 2m_e \cdot c^2(1+\Delta)$ ). Findet entweder im Atomkern statt (z.B. Germaniumdetektor für  $\gamma$ -Spektroskopie,  $\Delta \approx 10^{-5}$ ) oder in der Atomhülle, wenn Photon eine Hüllelektron trifft (sog. Triplettbildung) mit  $E_{\text{Photon}} \geq 4m_e \cdot c^2$ , wovon  $2m_e \cdot c^2$  als kinetische Energie der drei Teilchen auftreten, d.h.  $\Delta = 1$ .

#### Energie von Photonen und Elektronen

Photonen-Energie  $E = h \cdot \nu = \frac{h \cdot c}{\lambda}$  de-Broglie-Wellenlänge  $\lambda = \frac{h}{p}$  Wellenlänge eines Teilchens mit:  $v \ll c$   $\lambda = \frac{h \cdot c}{\sqrt{2m_0c^2E_{\rm kin}}} = \frac{1240\,{\rm eV\cdot nm}}{\sqrt{2m_0c^2E_{\rm kin}}}$  z.B. für Elektron mit  $E_{\rm kin}$  in (eV)  $\lambda_{\rm Elektron} = \frac{1240\,{\rm eV\cdot nm}}{\sqrt{2(0.511\cdot 10^6\,{\rm eV})E_{\rm kin}}} = \frac{1,226\,{\rm nm}}{\sqrt{E_{\rm kin}/[{\rm eV}]}}$ 

#### Atomaufbau

Atome bestehen aus einem Atomkern und einer wesentlich größeren Hülle aus Elektronen.

Der Kerndurchmesser beträgt  $10^{-15}$  ...  $10^{-14}$  m während der Durchmesser der Atomhülle etwa  $10^{-10}$  m beträgt. Fast die gesamte Atommasse ist im Kern enthalten, er besteht aus Z Protonen und N Neutronen. Die Summe Z+P=A nennt man die Nukleonenzahl A.

Die Anzahl der Elektronen in der Hülle (und damit die negative Ladung) entspricht der Anzahl Z der positiven Protonen im Kern (der Kernladungszahl, gleichzeitig Ordnungszahl im Periodensystem). Damit ist das Atom elektrisch neutral.

#### Atomzerfall, Radioaktivität

Instabile Atome zerfallen unter Aussendung eines Teilchens.

- a)  $\alpha$ -Zerfall:  ${}^4_2$ He $^{2+}$ -Kern aus 2 Protonen und 2 Neutronen. Z.B. zerfällt ein Uran-235 Atom zu Thorium-231:  ${}^{235}_{92}$ U  $\to$   ${}^{231}_{90}$ Th  $+{}^4_2$  He +  $\Delta E$
- b)  $\beta$ -Zerfall: beim  $\beta^-$ -Zerfall wird ein Elektron durch Tunneleffekt aus dem Kern ausgesandt (seltener ein Positron beim  $\beta^+$ -Zerfall), ein Neutron wird zum Proton und die Kernladungszahl erhöht sich um eins, die Nukleonenzahl bleibt jedoch unverändert:
  - $^{198}_{79}$ Au  $\rightarrow ^{198}_{80}$ Hg + e<sup>-</sup> + Neutrino, d.h. aus Gold wird Quecksilber.
- c)  $\gamma$ -"Zerfall": Nach einem  $\alpha$  oder  $\beta$ -Zerfall bleibt der Atomkern meist in einem angeregten Zustand (überschuss an Energie). Dieser Energieüberschuss wird in Form von  $\gamma$ -Strahlung abgegeben:

$$^{60}_{28} \text{Ni} \rightarrow ^{60}_{28} \text{Ni} + \gamma = ^{60}_{28} \text{Ni} + h \cdot \nu$$

Zerfallsgesetz

Zerfallskonstante

Anzahl Teilchen nach Zeit t

nach Halbwertszeit sind noch 50% der Teilchen da

Halbwertszeit

Aktivität nach Zeit t

 $\lambda$ 

 $N(t) = N_0 \cdot \exp\left[-\lambda \cdot t\right]$ 

 $\frac{1}{2} = \exp\left[-\lambda \cdot T_{1/2}\right]$ 

 $T_{1/2} = \frac{\ln 2}{\lambda}$ 

 $\frac{\mathrm{d}N(t)}{\mathrm{d}t} = -\lambda \cdot N_0 \cdot \exp\left[-\lambda \cdot t\right]$ 

#### Bohr'sches Atommodell

Quantisierung des Drehimpulses eines Elektrons

Drehimpuls

Quantelung des Drehimpulses

Kreisbahnradius für Quantenzahl n

n=1: Bohr'scher Atomradius

kin. Energie aus Kreisbewegung

potentielle Energie aus Coulombkraft

Gesamtenergie Elektron

Energieniveau abh. von n

Energiezufuhr und Abstrahlung

Energieänderungen nur in Quanten

 $\vec{L} = \vec{r} \times \vec{p}$ 

 $|\vec{L}| = r \cdot m_e \cdot v = n \cdot \hbar = n \cdot \frac{h}{2\pi}, \ n \in \mathbb{N}$ 

 $r_n = n^2 \cdot \frac{\hbar \cdot 4\pi\varepsilon_0}{m_e \cdot c^2}$ 

 $a_0 = r_1 = \frac{\hbar \cdot 4\pi\varepsilon_0}{m_e \cdot c^2} \approx 0.5 \cdot 10^{-10} \,\mathrm{m}$ 

 $E_{\rm kin} = \frac{1}{2} m_e \cdot v^2 = \frac{1}{2} \frac{e^2}{4\pi\varepsilon_0 \cdot r_n}$ 

 $E_{\rm pot} = -\frac{{\rm e}^2}{4\pi\varepsilon_0 \cdot r}$ 

 $E = E_{\text{kin}} + E_{\text{pot}} = -\frac{1}{2} \cdot \frac{e^2}{4\pi\varepsilon_0 \cdot r}$ 

 $E_n = -\frac{1}{n^2} \cdot \frac{e^2}{8\pi\varepsilon_0 \cdot a_0} \approx -\frac{1}{n^2} \cdot 13,6 \text{ eV}$ 

 $\Delta E = E_m + E_n = \left(\frac{1}{n^2} - \frac{1}{m^2}\right) \cdot \frac{e^2}{8\pi\varepsilon_0 \cdot a_0}, \ m > n$ 

## ${\bf Quanten mechanik}$

Heisenberg'sche Unschärferelation

Schrödingergleichung

stationäre Schrödingergleichung eindim.

Lösung eindim. Schrödingergl.=Wellen-

funktion im erlaubten Bereich:  $0 \dots L$ 

Wahrscheinlichkeitsdichte dafür,

 $\Delta x \cdot \Delta p_x \ge \frac{1}{2}\hbar = \frac{1}{2} \cdot \frac{h}{2\pi}$ 

 $H\psi(x,y,z,t) = i\hbar \frac{\partial}{\partial t} \psi(x,y,z,t)$ 

 $\frac{\hbar}{2m} \cdot \frac{\mathrm{d}\psi}{\mathrm{d}x^2} = (E - U(x)) \cdot \psi$ 

 $\psi_n(x) = \sqrt{\frac{2}{L}} \cdot \sin\left(n \cdot \frac{\pi}{L} \cdot c\right)$ 

dass sich Elektron an der Position x befindet  $|\psi(x)|^2$  Quantisierung der Energie im Bereich L, für  $n \in \mathbb{N}$   $E_n = n^2 \cdot \frac{h^2}{8mL^2} = n^2 E_1$ 

Quantenmechanisches Atommodell am Beispiel des Wasserstoffatoms

- a) Atomkern wird als ruhend angenommen
- b) Elektron in der Hülle wird durch Wellenfunktion  $\Psi$  beschrieben
- c) Das Quadrat der Wellenfunktion,  $|\Psi|^2$  kann als Aufenthaltswahrscheinlichkeit des Elektron interpretiert werden
- d) Erlaubte Energieniveaus ergeben sich aus den Randbedingungen für die Wellenfunktion
- e) Aus den Energieniveaus können die Spektrallinien des Wasserstoffs berechnet werden.

stationäre Schrödingergleichung  $\frac{\hbar^2}{2m} \cdot \left( \frac{\partial^2 \psi}{\partial x^2} + \frac{\partial^2 \psi}{\partial y^2} + \frac{\partial^2 \psi}{\partial z^2} \right) = (E - U) \cdot \psi$ 

konstante Gesamtenergie d. Elektrons E = const.

potentielle Energie

abh von Kernabstand  $U = -\frac{1}{4\pi\varepsilon_0} \cdot \frac{e^2}{r}$ 

Lösung ist Prod. aus 2 Funktionen  $\psi = \psi_{nlm}(r, \Theta, \varphi) = R_{nl}(r) \cdot Y_{lm}(\Theta, \varphi)$ 

erlaubte Energieniveaus abh. von n $E_n = -\frac{1}{n^2} \cdot \frac{e^2}{8\pi\varepsilon_0 \cdot a_0} \approx -\frac{1}{n^2} \cdot 13,6 \, \text{eV}$ 

Quantenzahlen: es ergeben sich 3 verschiedene Quantenzahlen: n,l,m

Hauptquantenzahl  $n = 1, 2, 3, \dots$ 

Bestimmt Energieniveau  $E_n \approx -13.6 \,\mathrm{eV} \cdot \frac{1}{n^2}$ 

Bahndrehimpulsquantenzahl  $l=0,\,1,\,2,\,\ldots,\,n-1$ 

möglichen Werte des Bahndrehimpulses  $|\vec{L}| = \sqrt{l \cdot (l+1)} \cdot \hbar$ 

Magnetquantenzahl  $m = -l, -(l-1), \ldots, (l-1), l$ 

z-Komponente Drehimpuls  $L_z = m \cdot \hbar$ 

Beispiele für n = 1 und n = 2

n = 1; l = 0; m = 0  $E_1 = -13.6 \,\text{eV} \rightarrow \psi_{100} = \frac{1}{\sqrt{\pi \cdot a_0^3}} \cdot e^{-\frac{r}{a_0}}, \text{ Maximum bei } r = a_0$ 

n = 2; l = [0, 1]; m = [-1, 0, 1];  $E_2 = -3.4 \,\text{eV}$ 

Feinstrukturaufspaltung: Der Spin

Elektronenspin  $m_s = \pm \frac{1}{2}$ 

Pauli-Verbot

Keine 2 Elektronen in einem Atom dürfen in allen Quantenzahlen übereinstimmen!